doi: 10. 11933/j. issn. 1007-9289. 20201222002

ZnO 晶须对激光裂解 Ti-Si 复合陶瓷涂层结构 和摩擦磨损及耐腐蚀性能的影响 *

王 潇1 刘照围2 乔玉林3 王思捷3

- (1. 陆军装甲兵学院兵器与控制系电子基础室 北京 100072;
- 2. 陆军装甲兵学院蚌埠校区作战保障系装甲侦察教研室 蚌埠 233000;
- 3. 陆军装甲兵学院机械产品再制造国家工程研究中心 北京 100072)

摘要:采用先驱体转化陶瓷法(PDC法)制备含 ZnO 晶须的 Ti-Si 复合陶瓷涂层,将 ZnO 晶须添加到激光裂解 Ti-Si 复合陶瓷涂的先驱体中,增强 Ti-Si 复合陶瓷涂层的防腐蚀性能和减摩耐磨性能。通过扫描电子显微镜(SEM)、X 射线衍射仪(XRD)、往复式摩擦磨损测试仪、电化学工作站等手段,分析含不同质量分数 ZnO 晶须的 Ti-Si 复合陶瓷涂层的元素组成及存在形式、表面形貌、摩擦磨损性能以及防腐蚀性能。添加 ZnO 晶须对 Ti-Si 复合陶瓷涂层的组成和化学价态没有影响,但添加 ZnO 晶须对 Ti-Si 复合陶瓷涂层的防腐性能有改善,添加 ZnO 晶须对 Ti-Si 复合陶瓷涂层的减摩性能有改善,在较高载荷下添加 ZnO 晶须可以降低 Ti-Si 复合陶瓷涂层的摩擦因数,添加 ZnO 晶须质量分数为 10%所得的 Ti-Si 复合陶瓷涂,载荷为 5 N 和 7 N 时摩擦因数均比 45 钢低 52%。添加不同质量分数 ZnO 晶须对复合陶瓷涂层表面表面形貌有很大影响,同时可以改善 Ti-Si 复合陶瓷涂层摩擦磨损性能以及防腐蚀性能。

关键词:激光裂解;陶瓷涂层;ZnO晶须;防腐蚀;减摩

中图分类号: TG174

Structure, Frictional Wear and Corrosion Resistance of Ti-Si Composite Ceramic Coatings by Laser Cracking with ZnO Whiskers

WANG Xiao¹ LIU Zhaowei² QIAO Yulin³ WANG Sijie ³

- (1. Department of Weapons and Control, Army Academy of Armored Forces, Beijing 100072, China;
- 2. Armored Investigation of Combat Support, Army Academy of Armored Forces Bengbu Campus, Bengbu 233000, China;
 - 3. National Engineering Research Center for Mechanical Product Remanufacturing,

Army Academy of Armored Forces, Beijing 100072, China)

Abstract: Ti-Si composite ceramic coating containing ZnO whiskers was prepared by precursor conversion ceramic method (PDC). ZnO whiskers were added to the precursor of laser pyrolysis Ti-Si composite ceramic coating to enhance the corrosion the corrosion resistance, friction and wear resistance of Ti-Si composite ceramic coating. By means of scanning electron microsope (SEM), X-ray powder diffraction (XRD), reciprocating friction and wear tester, electrochemical workstation, and etc. The addition of ZnO whiskers had no effect on composition and chemical speciation of Ti-Si composite ceramic coating. But the addition of ZnO whiskers can improve Ti-Si composite ceramic coating's anti-corrosion and anti-friction performance. Moreover, adding ZnO whiskers under high load can reduce the friction coefficient of Ti-Si composite ceramic coating obtained by adding ZnO whisker of 10% mass fraction under loads of 5 N and 7 N has 52% lower friction coefficient than steel -45. The addition of different mass fractions of ZnO whiskers has a great effect on the surface morphology of composite ceramic coatings, and can improve the anti-corrosion and anti-friction performance of Ti-Si composite ceramic coating.

Keywords: laser pyrolysis; ceramic coating; ZnO whisker; corrosion protection; friction reduction

^{*} 国家自然科学基金资助项目(51805541,51575526)。

0 前言

随着自动化程度不断提高,机械设备的工作环境愈发严苛,对金属零部件也提出更高的要求。性能优异的陶瓷涂层,往往具有耐高温、耐磨减摩性好、防腐能力强等特点,可使机械设备在恶劣工况下服役的可靠性大大提高^[1-3]。但陶瓷涂层也存在塑性差、易产生裂纹、接触强度较低等不足^[4],这在一定程度上限制了陶瓷涂层的应用。

自 20 世纪 70 年代 VERBEEK^[5] 和 YAJIMA 等^[6-7]采用有机硅聚合物分别制备了 Si₃N₄+SiC 及 SiC 纤维,以有机聚合物为先驱体制备无机陶瓷的 新方法引起研究人员的高度重视,这一方法也逐渐成为获取陶瓷涂层的研究热点^[8]。进一步研究表明,通过高温处理有机聚合物先驱体,在金属表面制备陶瓷涂层是一种获得性能优异陶瓷涂层有效方法^[9]。先驱体转化陶瓷法(Precursor conversion ceramic,PDC)制备陶瓷涂层虽然有很多优点,但也存在涂层易开裂,孔隙较多等问题。

在有机先驱体中加入填料,可以制备出性能优异的陶瓷涂层^[10-11]。刘洪丽等^[12]以聚硅氮烷作为先驱体,以 Si、MoSi₂ 为填料,利用裂解法制备陶瓷涂层,裂解过程中发生了非晶物质晶态化的转变,先驱体的裂解产率随着填料的含量增加有明显上升;GREIL^[13]和 ERNY等^[14]研究了添加活性填料对裂解聚硅氧烷制备陶瓷涂层的影响,发现添加 Ti 和MoSi2 后,陶瓷涂层的弯曲强度可达 330 MPa;赵吉鑫等^[15]研究了石墨烯、金属颗粒对激光裂解制备陶瓷涂层的影响,发现在 700 W 激光功率条件下制备的含 Ni 复合陶瓷涂层和含 Cr 复合陶瓷涂层与基体的结合强度较高,摩擦学性能优异。

利用 PDC 法制备激光裂解 Ti-Si 复合陶瓷涂层时往往由于激光裂解速度过快,使得制备的陶瓷涂层容易出现孔隙率较大、裂纹等问题,加入活性填料、制备复合陶瓷是解决问题的有效途径之一。本文采用 ZnO 晶须作为添加剂,在钢基体表面制备复合陶瓷涂层,表征了涂层表面形貌、元素相对含量及物相结构,考察了复合陶瓷涂层的摩擦学行为,分析了磨痕的表面形貌。

1 试验准备

1.1 主要材料和仪器

山东优索化工科技有限公司生产的 γ-缩水甘油氧丙基三甲氧基硅烷(KH560),工业级;北京益利精细化学品有限公司生产的钛酸四丁酯,化学纯;

北京中科德通科技有限公司生产的氧化锌晶须,分析纯。

E15B-980-IS27.8 半导体激光器,大族激光科技产业有限公司; Nano NanoSEM50 扫描电子显微镜,美国 FEI 公司; DX-2700 X 射线衍射仪,丹东方圆仪器有限公司; MFT-R4000 往复式摩擦磨损测试仪,中科院兰州化学物理研究所; IM6 电化学工作站,德国 Zahner 公司。

1.2 含 ZnO 晶须的 Ti-Si 复合陶瓷涂层制备

试验采用规格为 15 mm×15 mm×3 mm 的 45 钢作为金属基材,对金属基材表面用规格为 P1000 的砂纸进行打磨,放入无水乙醇超声清洗 5 min,放入干燥箱干燥 5 min。按质量比为 1:1.8 分别精确称取 KH560 和钛酸四丁酯,同时称取一定量 ZnO 晶须,先将 ZnO 晶须加入 KH560 中,并超声分散5 min,然后将钛酸四丁脂缓慢加入 ZnO 晶须和KH560中,混合后超声分散 10 min,获得含 ZnO 晶须的有机溶液。使用 TBJR4000 自动涂布机将含ZnO 晶须的有机溶液均匀涂布在处理好的金属基材表面,之后将其置于 80 ℃ 的恒温干燥箱中,固化25 min,得到厚度为 30~50 μm 的含 ZnO 晶须的 Ti-Si 有机膜。

采用氫气作为保护气体,将含 ZnO 晶须的 Ti-Si 有机膜水平放置,使用 E15B-980-IS27.8 半导体激光器,将激光功率设置为 600 W、激光波长 980 nm、扫描速率 14 mm/s、搭接率 3%,使用连续激光"1"字型扫描 1次,随后空冷至室温,可得激光裂解的含 ZnO 晶须 Ti-Si 复合陶瓷涂层。

1.3 含 ZnO 晶须的 Ti-Si 复合陶瓷涂层表征

采用 Nano NanoSEM50 扫描电子显微镜对含 ZnO 晶须的 Ti-Si 复合陶瓷涂层表面形貌进行了表征,采用 DX-2700 X 射线衍射仪对含 ZnO 晶须的 Ti-Si 复合陶瓷涂层进行了物相分析。为研究不同质量分数 ZnO 晶须对 Ti-Si 复合陶瓷涂层的影响性能,试验采用 MFT-R4000 往复式摩擦磨损测试仪对其摩擦磨损性能进行了研究;为研究不同质量分数 ZnO 晶须的 Ti-Si 复合陶瓷涂层的耐腐蚀性能,试验采用 IM6 电化学工作站研究了其电化学性能。

2 结果与讨论

2.1 ZnO 晶须对激光裂解制备复合陶瓷涂层的影响

2.1.1 复合陶瓷涂层的表面形貌表征

添加 ZnO 晶须后,陶瓷涂层表面形貌出现明显变化。不同质量分数 ZnO 晶须的复合陶瓷涂层的 SEM 如图 1 所示。

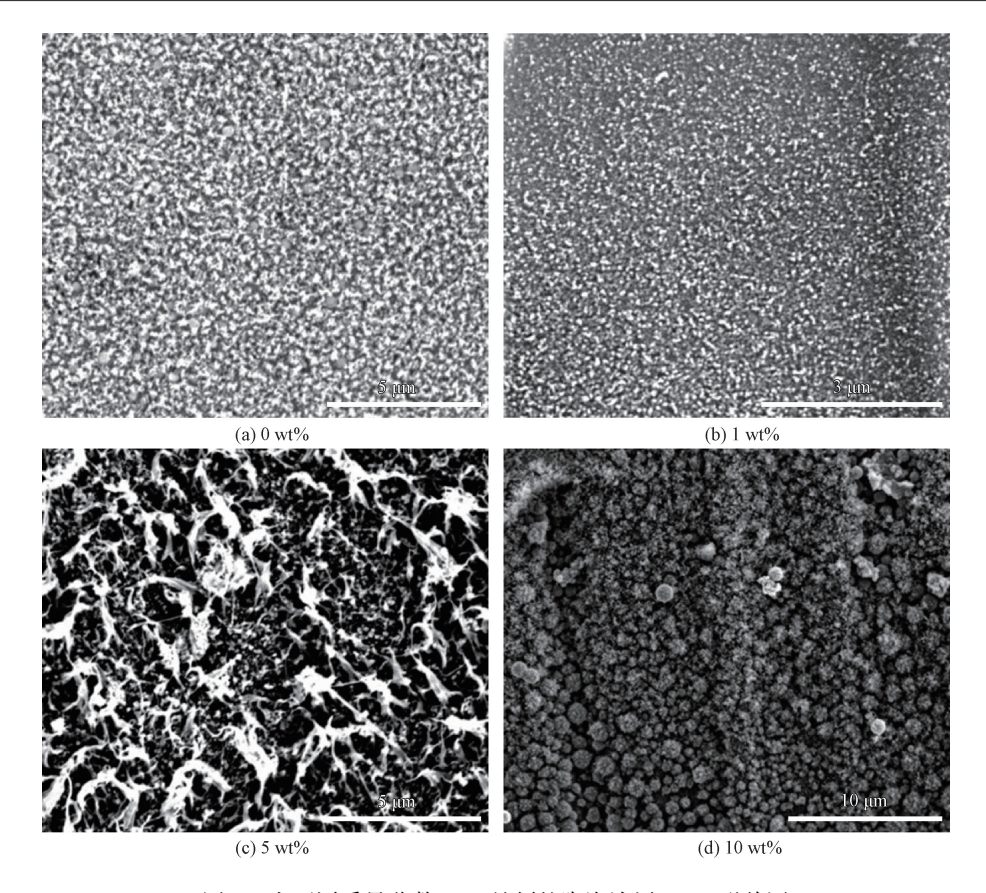


图 1 含不同质量分数 ZnO 晶须的陶瓷涂层 SEM 形貌图

Fig. 1 SEM charts of ceramic coatings containing different mass fractions of ZnO whiskers

从图 1a 和图 1b 可以看出,当 ZnO 晶须质量分数为 1%时,含 ZnO 晶须复合陶瓷涂层表面(图 1b)与没有添加 ZnO 晶须的陶瓷表面形貌没有明显变化。从图 1c 和 1d 可以看出,当 ZnO 晶须质量分数为 5%时,涂层表面出现不规则絮状物质,可能为 ZnO 晶须。在 ZnO 晶须质量分数为 10%时,陶瓷涂层表面出现不规则堆积的球状颗粒。

2.1.2 X 射线衍射物相分析

图 2 给出了含不同质量分数 ZnO 晶须的陶瓷涂层的 XRD 图谱。从图 2 可以看出,所有涂层的 XRD 曲线中均出现了 Fe 晶体的衍射峰,Fe 衍射峰来自于 45 钢基体。同时,含质量分数 5%和 10% ZnO 晶须的陶瓷涂层在 2 θ = 31. 4°的位置出现了微小强度的峰,该峰为 ZnO 晶须的特征峰。

2.2 ZnO 晶须对陶瓷涂层摩擦学性能的影响

2.2.1 减摩抗磨性能

试验研究了含不同质量分数 ZnO 晶须的陶瓷涂层的平均摩擦因数与试验载荷的关系,同时给出了不同质量分数 ZnO 晶须的陶瓷涂层的磨损量与试验载荷的关系,如图 3 所示。

由图 3a 可知, ZnO 晶须质量分数为 1%时陶瓷涂层整体上表现出了较高的摩擦因数, 但在载荷为

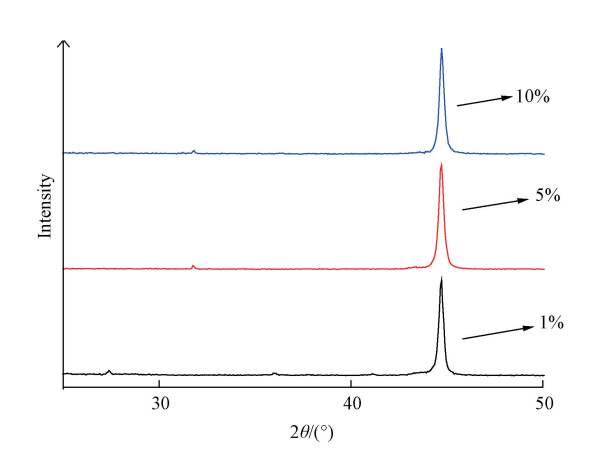


图 2 含不同质量分数 ZnO 晶须的陶瓷涂层的 XRD 图 Fig. 2 XRD charts of ceramic coatings containing different mass fractions of ZnO whiskers

5 N 时均比 45 钢低 28.7%; 含 5% 质量分数 ZnO 晶须的陶瓷涂层的摩擦因数在低载荷时比 45 钢低,但是随着载荷增加,摩擦因数迅速上升,载荷为 5 N 和 7 N 时,比 45 钢摩擦因数要高出很多; ZnO 晶须质量分数为 10%时,摩擦因数反而降低,载荷为 5 N 和 7 N 时均比 45 钢低 52%。由图 3b 可知,载荷为 1 N 和 3 N 时,不同质量分数的 ZnO 晶须的陶瓷涂层磨损量均略低于 45 钢;载荷为 5 N 和 7 N 时,不同质

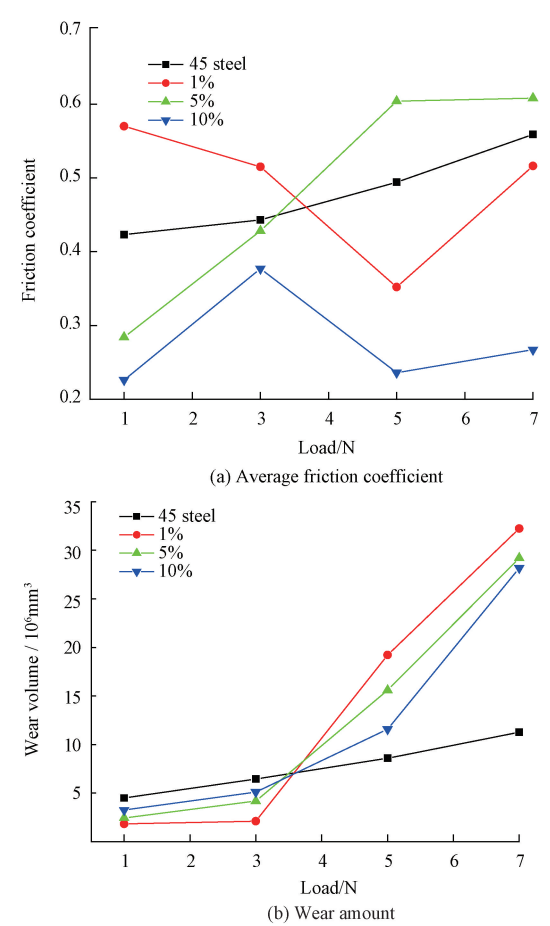


图 3 含不同质量分数 ZnO 晶须的陶瓷涂层的 平均摩擦因数和磨损量与试验载荷关系图

Fig. 3 Charts of average friction coefficient and wear amount of ceramic coatings containing different mass fractions of ZnO whiskers

量分数的 ZnO 晶须的陶瓷涂层磨损量均高于 45 钢。这说明在较低载荷时, ZnO 晶须复合陶瓷涂层的耐磨性优于 45 钢, 而在较高载荷下则不如 45 钢。

图 4 给出了不同试验载荷条件下含 5wt% ZnO 晶须陶瓷涂层摩擦因数随时间变化曲线。由图 4 可以看出,含 ZnO 晶须陶瓷涂层摩擦因数随着试验载

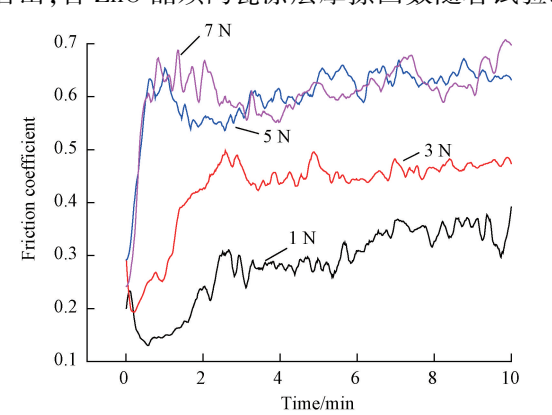


图 4 含 5wt%ZnO 晶须陶瓷涂层摩擦因数随时间变化曲线 Fig. 4 Curve of friction coefficient of ceramic coatings

containing 5wt% ZnO whiskers with time

荷的增加呈逐渐增大的趋势。质量分数 5% ZnO 晶须陶瓷涂层摩擦因数在载荷 1 N 时摩擦因数先降低再升高然后趋于稳定,载荷为 3 N、5 N 和 7 N 时,均经历了先升高再下降然后趋于稳定。

2.2.2 复合陶瓷涂层的表面磨痕分析

图 5 给出了含 5% ZnO 晶须复合陶瓷涂层的磨损表面的 SEM 图,载荷分别为 1 N、3 N、5 N、7 N,由图 5 可以看出,载荷为 1 N 和 3 N 时,磨痕表面出现一些裂纹和剥落,由此可推断磨损机理应主要以黏着磨损为主;载荷为 5 N 时,开始出现明显的剥落,载荷为 7 N 时现象更为明显,此时的磨损机理以黏着磨损和磨粒磨损为主。

2.2.3 电化学测试

试验分析了含不同质量分数 ZnO 晶须的陶瓷涂层的电化学性能,极化曲线如图 6 所示。

由图 6 可知,ZnO 质量分数为 5%时,陶瓷涂层自腐蚀电位(-0.408 V)略高于 ZnO 晶须质量分数 1%(-0.47 V)和质量分数 10%(-0.447 V)时的陶瓷涂层,抗腐蚀性最好。其原因可能是在激光裂解后,含 1%ZnO 晶须的陶瓷涂层相对于含 5%和 10% ZnO 晶须的陶瓷涂层表面更疏松,更容易被腐蚀,但含 10%ZnO 晶须的陶瓷涂层在激光裂解过程中产生了裂纹和孔隙等,使其自腐蚀电位低于含 5%ZnO晶须的陶瓷涂层,因此更容易发生腐蚀。

3 结论

- (1)添加 ZnO 晶须对激光裂解 Ti-Si 复合陶瓷涂层的组成和化学价态没有影响,但对其表面致密度有不同程度的影响。在 ZnO 晶须质量分数为 1%时,加入 ZnO 晶须的复合陶瓷涂层表面没有添加 ZnO 晶须的相比没有明显变化,当 ZnO 晶须质量分数为 5%时,涂层表面出现不规则絮状物质,在 ZnO 晶须质量分数为 10%时,陶瓷涂层表面出现不规则堆积的球状颗粒。
- (2)添加 ZnO 晶须对激光裂解 Ti-Si 有机膜生成的陶瓷涂层的减摩性能有改善,但对其抗磨性没有明显提高。在较低载荷时添加 ZnO 晶须质量分数为 5%和 10%能有效降低其摩擦因数和减少其磨损量,此时主要发生黏着磨损;在较高载荷时添加 ZnO 晶须质量分数为 5%能有效降低其摩擦因数,同时相对于没有添加 ZnO 晶须的复合陶瓷涂层可以减少其磨损量,同时,添加 ZnO 晶须可以对 Ti-Si 复合陶瓷涂层的防腐性能有略微改善,但改善不明显,当添加质量分数 5% ZnO 晶须时所得的 Ti-Si 复合陶瓷涂层防腐蚀性能最好。

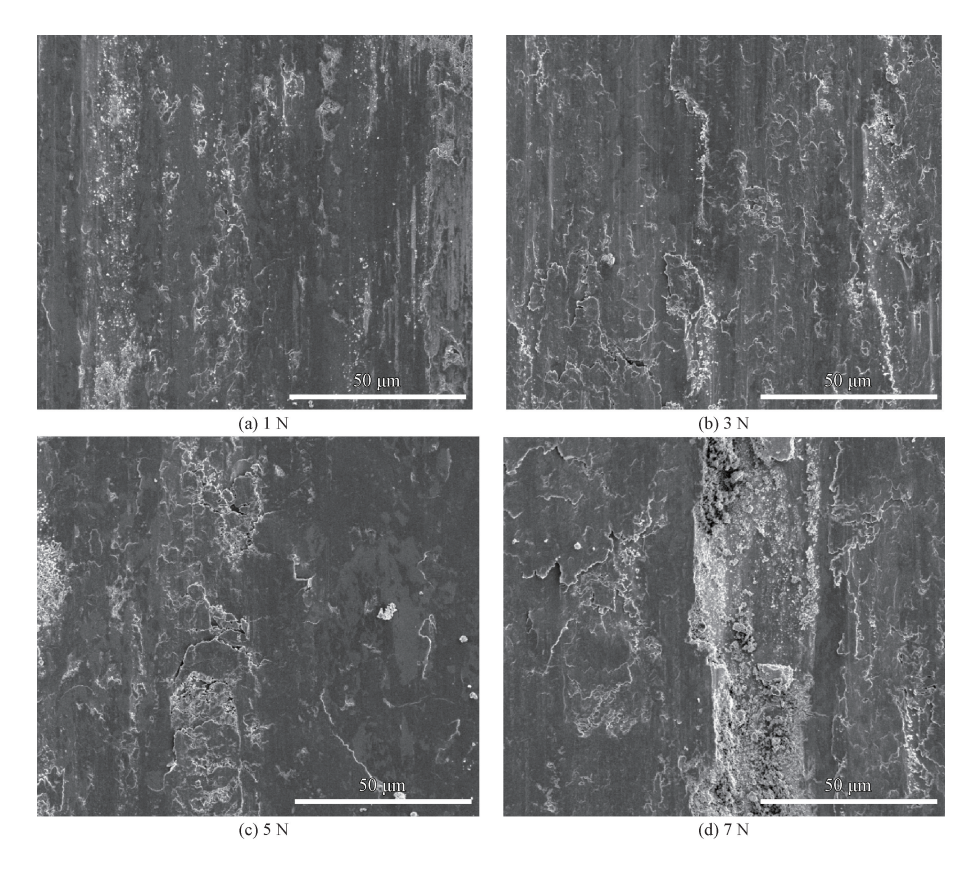


图 5 质量分数 5% ZnO 晶须陶瓷涂层在不同载荷下磨痕 SEM 图

Fig. 5 SEM charts of wear marks of 5% ZnO whisker ceramic coatings under different loads

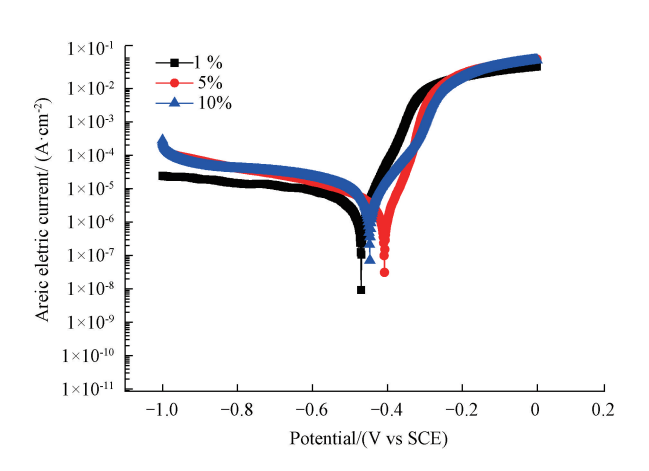


图 6 含不同质量分数 ZnO 晶须的陶瓷涂层极化曲线 Fig. 6 Polarization curves of ceramic coatings containing different mass fractions of ZnO whiskers

参 老 文 献

- [1] HANDKE M, SITARZ M, DLUGON E. Amorphous SiCxOy coatings from ladder-like polysilsesquioxanes [J]. J. Mol. Struct., 2011, 993(1-3): 193-197.
- [2] GONG Weiwei, GAO Pengzhao, WANG Wenxiang.
 Characterization and oxidation properties of biomorphic porous carbon with SiC gradient coating prepared by PIP method[J]. Ceram int, 2011, 37(6): 1739-1746.

- [3] 李婷. 令人关注的工业电子陶瓷材料及其应用[J]. 陶瓷, 2016(1): 20-26.
 - LI Ting. Concern industrial electronic ceramic materials and their application [J]. Ceramics, 2016(1): 20-26.
- [4] MULLER A, GERSTEL P, BUTCHEREIT E, et al. Si/B/C/N/AI precursor-derived ceramics: Synthesis, high temperature behavior and oxidation resistance [J]. Journal of the European Ceramic Society, 2004, 24 (12): 3409-3417.
- [5] VERBEEK, WOLFGANG. Production of shaped articles of homogeneous mixtures of silicon carbide and nitride; U. S. Patent, 3853567[P]. 1974-12-10.
- [6] YAJIMA S, HAYASHI J, OMORJ M, et al. Development of a silicon carbide fibre with high tensile strengh [J]. Nature, 1976, 261: 683-685.
- [7] YAJIMA S, HASEGAWA Y, OKAMURE K, et al. Development of high tensile strength silicon carbide fibre using an organosilicon polymer precursor [J]. Nature, 1978, 273: 525-527.
- [8] 刘伟, 罗永明, 徐彩虹. 硅基聚合物前驱体作为连接 剂的研究进展[J]. 宇航材料工艺, 2011(1): 14-19.
 - LIU Wei, LUO Yongming, XU Caihong. Research progress in silicon-based preceramic polymers for joining

- materials [J]. Aerospace Materials and Technology, 2011(1): 14-19.
- [9] HALANI P R, SHIN Y C. In-situsynthesis and characterization of shape memory alloy nitinol by laser direct deposition [J]. Metallurgical and Materials Transactions A, 2012, 43(2): 650-657.
- [10] DUAN Liqun, MA Qingsong, CHEN Zhaohui. Preparation and characterization of mesoporous silicon oxycar-bide ceramics without free carbon from polysiloxane [J]. Journal of the European Ceramic Society, 2013, 33: 841-846.
- [11] ADAM M, WILHELM M. Polysiloxane derived hybrid ceramics with nanodispersed Pt[J]. Microporous & Mesoporous Mat., 2012, 151: 195-200.
- [12] 刘洪丽,赵雪莲,田春英,等.陶瓷先驱体聚硅氮烷 (PSZ)加入 Si、MoSi、填料制备石墨抗氧化复合涂层的研究 [J].人工晶体学报,2013,42(9):1960-1964.
 - LIU Hongli, ZHAO Xuelian, TIAN Chunying, et al. Study on carbon anti oxidation composite coating prepared with the PSZ and Si-MoSi₂ powders [J]. Journal of synthetic crystals, 2013, 42(9): 1960-1964.

- [13] GREIL P. Near net shape forming of ceramic components by pyrolysis of polymer filler mixtures [J]. Cfi/Ber DKG, 1994(6):306.
- [14] ERNY T. MICHAEL S, OTTO J, et al. Microstructure development of oxycarbide composites during active filler conteolled polymer pyrolysis [J]. Am. Ceram. Soc., 1993(1):207.
- [15] 赵吉鑫, 乔玉林, 薛胤昌, 等. 基于激光裂解含 Ti 粉聚二甲基硅氧烷的 SiTiC 复相陶瓷涂层制备[J]. 中国激光, 2017, 44(10): 97-103.

 ZHAO Jixin, QIAO Yulin, XUE Yichang, et al. Fabrication of SiTiC multiphase ceramic coating based on laser pyrolyzing of polydimethylsiloxane with titanium powder[J]. Chinese Journal of Lasers, 2017, 44(10): 97-103.

作者简介:王潇,女,1993年出生,硕士,助教。主要研究方向为电子通信与激光技术。

E-mail: 501785733@ qq. com

刘照围(通信作者),男,1994年出生,硕士,助教。主要研究方向为 装甲材料与激光技术。

E-mail: liuzhaowei@ 126 com